

위 상태 전이 다이어그램은 모든 상태가 상호 도달 가능하므로 더 이상 줄일 수 없다(irreducible)고 할 수 있으며, 주기성을 갖지 않고 한정된 시간내에 특정상태로 회귀할 수 있으므로 ergodicity(aperiodic, recurrent, nonull) 특성을 만족하게 된다. 따라서, ITS 각 상태에 대한 SMP의 안정 상태 확률값이 존재하고 해당 SMP는 각 상태에서의 전이 확률(p_a, p_u, p_s, p_g, p_m)을 이용한 임베디드 이산마르코프체인에 의해 표현될 수 있다.

SMP의 각 상태에서의 평균 잔류시간을 h_i 라 하고, 이산마르코프체인 안정 상태 확률을 ν_i 라 할 때, SMP의 각 상태에 대한 안정 상태 확률 π_i 는 식 2와 같이 나타낼 수 있다.[4]

$$\pi_i = \frac{\nu_i h_i}{\sum_j \nu_j h_j}, \quad i, j \in X_S \quad (2)$$

5. 침입 양태별 SMP 모델링 분석

침입 양태별 SMP 모델의 안정 상태 확률을 구하기 위해서는 상태 전이 다이어그램을 재정의해야 한다. 여기서는 DoS공격과 ASP 취약성의 경우에 상기 SMP 모델의 결과를 적용해 보겠다.

첫번째, SYN Flood 및 Smurfing과 같은 DoS 공격의 경우 DNS서버와 같은 특정서버에 악의적인 http 요청을 대량으로 보냄으로써 시스템의 리소스를 장악해 버리는 경우이므로, 그림 1의 A(attack) 상태에서 악의적 요청의 모든 경우를 감지하는 것은 불가능하다[2]. 따라서 DoS 공격시 ITS가 가동되는 TR상태로의 전이를 통해 시스템의 최소한의 기능을 담보해주는 GD상태를 거침으로써 가용도를 어느 정도 보장해주는 정책을 택하는 것이 적절한 방안이라 할 수 있다.

즉, DoS의 경우 시스템의 가용성 저하에 초점을 두는 공격이므로 TR상태에서 FS상태로의 전이를 통한 기밀성(Confidentiality) 보장은 의미가 없다고 할 수 있다.

따라서, 이 경우 그림 1에서 MS와 FS상태를 배제하여 축소 모델링 할 수 있으며, 식 2의 안정 상태 확률을 각 상태별로 구하면 식 3을 얻을 수 있다[4].

$$\begin{aligned} \pi_G &= h_G / (h_G + h_V + p_a[h_A + p_u h_{UC} + (1 - p_u)h_{TR} + p_g h_{GD} + (1 - p_g)h_F]) \\ \pi_V &= h_V \pi_G / h_G, \pi_A = p_a h_A \pi_G / h_G, \pi_{UC} = p_a p_u h_{UC} \pi_G / h_G \\ \pi_{MC} &= 0, \pi_{FS} = 0, \pi_{TR} = p_a (1 - p_u) h_{TR} \pi_G / h_G \\ \pi_{GD} &= p_a p_g (1 - p_u) h_{GD} \pi_G / h_G \\ \pi_F &= p_a (1 - p_g) (1 - p_u) h_F \pi_G / h_G \end{aligned} \quad (3)$$

이 경우 DoS 공격에 대한 안정 상태 확률 A_{DOS} 는 일반적인 경우와 달리 FS 상태가 존재하지 않으므로 다음과 같이 구할 수 있다.

$$A_{DOS} = 1 - (\pi_F + \pi_{UC})$$

두번째 ASP 취약성은 IIS(Internet Information Server)를 사용하는 사용자에게 해당서버의 텍스트 파일을 노출시키는 보안상의 취약성을 나타내는 것으로써 기밀성의 보장이 중요한 경우라 할 수 있다[2]. 이 경우는 그림 1의 TR상태에서 시스템의 가용도 뿐만 아니라 기밀성까지 동시에 고려해 주는 모델이 타당하므로 MS상태만을 배제한 모델링이 되어야 한다. DoS 공격과 같은 방법으로 안정 상태 확률을 구하면 식 4를 얻을 수 있다.

$$\begin{aligned} \pi_G &= h_G / (h_G + h_V + p_a[h_A + p_u h_{UC} + (1 - p_u)h_{TR} + p_s h_{FS} + p_g h_{GD} + (1 - p_g - p_s)h_F]) \\ \pi_V &= h_V \pi_G / h_G, \pi_A = p_a h_A \pi_G / h_G, \pi_{UC} = p_a p_u h_{UC} \pi_G / h_G \\ \pi_{MC} &= 0, \pi_{FS} = p_a p_s h_{FS} (1 - p_u) \pi_G / h_G \\ \pi_{TR} &= p_a (1 - p_u) h_{TR} \pi_G / h_G, \\ \pi_{GD} &= p_a p_g (1 - p_u) h_{GD} \pi_G / h_G \\ \pi_F &= p_a (1 - p_s - p_g) (1 - p_u) h_F \pi_G / h_G \end{aligned} \quad (4)$$

한편, ASP 취약성은 DoS 공격의 경우와 달리 FS 상태가 존재하므로 안정 상태 확률은 다음과 같이 나타낼 수 있다.

$$A_{ASP} = 1 - (\pi_F + \pi_{FS} + \pi_{UC})$$

6. 시뮬레이션 및 분석

ITS의 SMP모델 분석 결과를 시뮬레이션하기 위해서는 전이 확률과 상태 전이 다이어그램내 각 상태에서의 평균잔류시간(Mean Sojourn Time)에 대한 파라미터 설정이 이루어져야 한다. 본 논문에서는 상기 일반적 모델링 결과 및 사례별 결과에 대한 수치적 검증을 실시하기 위해 두개 파라미터에 대해 표 1과 같이 수치를 정의하여 시뮬레이션을 수행하였다.

표 1 시뮬레이션 파라미터 설정

입력변수	파라미터 설정
평균잔류시간	$h_A = .25, h_V = 1/3, h_G = .5, h_{TR} = 1/6$ $h_{MC} = .25, h_{UC} = .5, h_{FS} = 1, h_F = 2, h_{GD} = 4$
Transition probability	$p_a = .4, p_m = .3, p_u = .2, p_g = .6, p_s = .3$

그림 2는 DoS공격과 ASP 취약성에 대해 시뮬레이션 한 결과를 보여주고 있다.

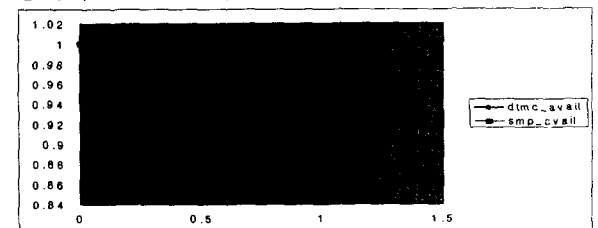


그림 2-a ASP vulnerability 경우(p_a 변화)

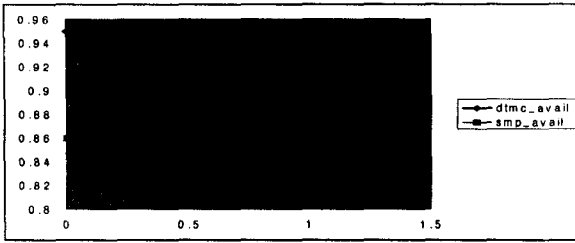


그림 2-b DoS 공격의 경우(p_u 변화)

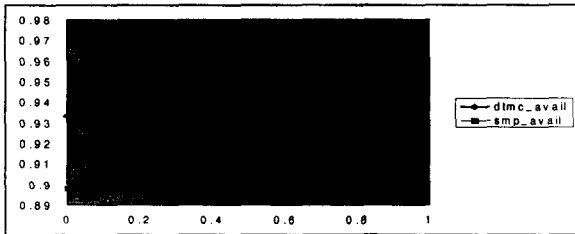


그림 2-c generic 경우(p_m 변화)

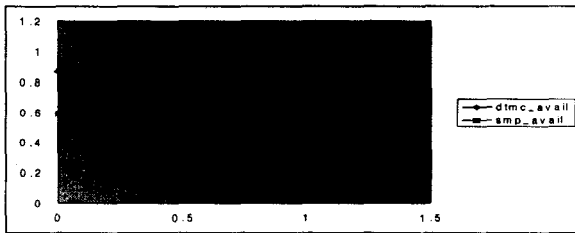


그림 2-d DoS 공격의 경우(p_g 변화)

몇가지 특징적인 부분을 살펴보면 다음과 같다.

첫째, 모든 경우에 대해 이산마르코프체인 안정 상태의 가용도가 SMP 안정 상태 가용도에 비해 높게 나타남을 알 수 있다. 이는, 이산마르코프체인의 경우 시스템의 각 상태에서의 평균 잔류시간을 고려하지 않은 경우에 대한 값이며, 일반적으로 평균 잔류시간을 고려한 SMP 모델의 경우가 실제 시스템의 상황을 더 잘 표현한다는 것을 나타낸다.

둘째, p_a (시스템이 V(Vulnerable)상태에서 공격상태로 천이할 확률)가 0에서 1까지 증가함에 따라 가용도는 1에서 점진적으로 낮아지게 된다. 그러나 공격 상태가 될 경우 시스템이 곧바로 마스킹(Masking) 가능한 상태나 ITS가 가동되므로 p_a 가 1에 근접함에 따라 가용도도 특정값으로 수렴하게 된다.

셋째, p_u (공격형태가 감지되지 못할 확률)값이 커지면 시스템내의 공격을 곧바로 마스킹할 수 있는 p_m 값이 상대적으로 작아지게 되고, 시스템 불안정성이 가중되므로 가용도는 점진적으로 감소하게 된다. 이때, 가용도의 수렴값이 존재하지는 않는다. 왜냐하면, UC상태는 시스템 재구성(Reconfiguration)을 통해서만 G상태로 갈 수 있으므로, p_u 값이 1이 될 경우 그때의 시스템 가용도가 어

떤 값을 가지든 시스템은 즉시 재가동되기 때문이다.

네째, p_g , p_m 의 경우 1로 근접할수록 시스템의 안정 상태 가용도 또한 1로 근접해 간다는 것을 알 수 있다. p_m 은 외부 공격에 대해 즉시 마스킹할 수 있는 상태로 천이할 확률이므로 ITS를 가동할 필요 없이 시스템이 유지될 수 있는 상황이므로 가용도가 높아지게 된다. p_s 는 시스템의 비밀성을 보장해주는 FS상태로의 천이이고, p_g 는 DoS와 같이 시스템의 리소스를 마비시키는 형태의 공격으로부터 최소한의 기능만을 유지시켜서 가용도를 보장해주는 GD상태로의 천이이다. 따라서 FS 및 GD 모두 가용도는 기본적으로 보장되는 상태이므로 p_s 및 p_g 값이 증가함에 따라 F상태로 천이 확률인 $1-p_s-p_g$ 값이 감소하게 되어서 가용도가 증가하게 됨을 알 수 있다.

7. 결론

본 논문에서는 [3]에서 제시한 ITS에 대한 확률론적 모델링 기법을 보안공격 양태별 SMP 모델 분석 및 시뮬레이션을 통해 결과를 검증해 보았다. ITS의 각 상태를 9가지 상태로 정의한 후 각 상태에서의 전이 확률 및 평균 잔류시간을 통해 이산마르코프체인 안정 상태 확률 및 SMP 안정 상태 확률을 계산하여 시스템의 안정 상태 가용도를 정의하였으며, DoS 공격 및 ASP 취약성의 경우에 분석결과를 적용하여 그 결과를 시뮬레이션을 통해 검증해 보았다.

향후, 실제 ITS 프로토타입 시스템을 이용한 파라미터를 바탕으로 시뮬레이션을 실시할 경우 보다 정확한 검증결과를 얻을 수 있을 것으로 기대된다.

또한, 성능평가 척도로 안정 상태 가용도 뿐만 아니라 시스템의 MTTSF(Mean Time to Security Failure)를 정의하고 그에 대한 침입양태별 정량적 분석이 병행될 필요가 있을 것으로 판단된다.

[참고문헌]

- [1] R. Ortalo, et. al., "Experiments with Quantitative Evaluation Tools for Monitoring Operational Security," IEEE Transaction Software Engineering, pp. 633-650, 1999.
- [2] F. Goseva-Popstojanova, K. Trivedi, et. al., "Characterizing Intrusion Tolerant Systems using a State Transition Model," DARFA Information Survivability Conference and Exposition, pp. 211-221, 2001.
- [3] B. Madan, Trivedi et. al., "Modeling and Quantification of Security Attributes of Software Systems," International Conference on Dependable Systems and Networks, pp. 505-514, 2002.
- [4] Leinard Kleinrock, Queueing Systems: Volume 1 Theory, John Wiley & Sons, 1974.